

02; 07

© 1992

О ХИМИЧЕСКОМ ИСТОЧНИКЕ ЭНЕРГИИ В ЛАЗЕРНОМ ФАКЕЛЕ

А.Я. Воробьев, И.А. Дорофеев,
М.Н. Либенсон

В работах [1-3] сообщалось о проведении химических реакций в лазерном факеле и необходимости учета выделяющейся энергии в общем энергобалансе процесса взаимодействия лазерного излучения с веществом в химически активной фоновой среде.

В нашем письме приводятся результаты экспериментов, в которых осуществлялась химическая конверсия испаренного лазерным импульсом металла через последовательный ряд реакций, в том числе эндотермических. На основании экспериментальных данных и теоретических оценок делается вывод о возможности неравновесного стимулирования реакций посредством отрыва колебательной температуры T_{ν} молекулярного реагента от поступательной T .

Подробно условия эксперимента описаны в [2]. Излучение неподиомового лазера фокусировалось на мишень, помещенную в калориметр, измеряя выделившуюся в нем энергию ($E + W$), где E – химическая энергия, W – энергия лазерного импульса, можно судить об эффективности дополнительного энерговыделения по коэффициенту $K = (E + W)/W$. В качестве мишени был выбран цинк. Так как реакция окисления в газовой фазе $Zn + O_2 \rightleftharpoons ZnO + O$ эндотермическая ($\Delta H > 0$, где ΔH – энтальпия реакции), то имелась возможность ее стимулирования колебательным возбуждением молекул O_2 [4]. Ождалось, что неравновесная химическая кинетика определит выход продукта реакций. На рис. 1, а показан график зависимости K от плотности энергии лазерного излучения Q . Из графика следует, что в воздухе атмосферного давления во всем используемом диапазоне испарение цинка сопровождается его окислением и конденсацией окисла с выделением теплоты в калориметре.

Лазерное воздействие включает в себя нагрев, плавление и испарение некоторой массы m вещества из мишени. Испаренный материал перемешивается с воздухом и одновременно вступает в химическое взаимодействие с кислородом. На начальной стадии расширения факела из-за высокого давления паров цинка реакция будет направлена в сторону образования продуктов до достижения, если это возможно, состояния химического равновесия. Глубину химического превращения или полноту конверсии характеризует коэффициент $\delta = E/mG$, где G – теплотворная способность материала мишени при полном сгорании в кислороде. Величина m определялась по глубине кратера в мишени с помощью оптического микроскопа после нескольких десятков воздействий импульсным лазерным излу-

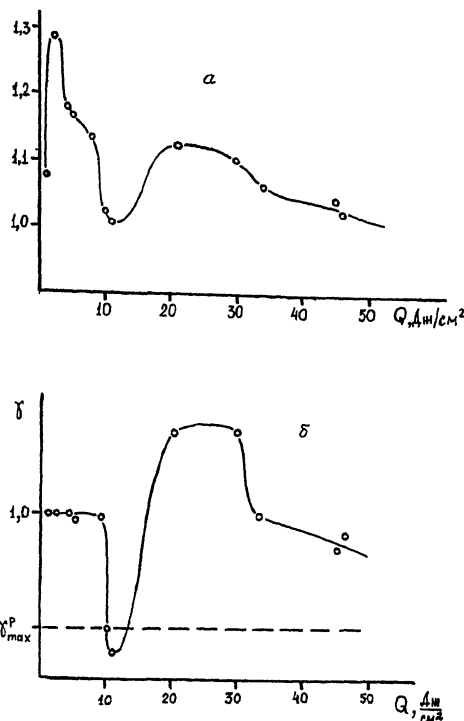


Рис. 1.

чением. На рис. 1, б показана зависимость γ от Q для цинка, испаренного в воздухе. Зависимость носит немонотонный характер, что может быть связано с различной динамикой развития газодинамических неустойчивостей при расширении факела в фоновую среду и, как следствие, с различной степенью перемешивания реагентов, а также с включением каналов химических превращений через ионную компоненту факела при больших Q . Области, где $\gamma > 1$, можно объяснить тем, что в воздухе возможно образование соединений на основе азота, например нитратов, с большим энерговыделением, чем у оксидов. На графике для сравнения пунктиром проведена линия, соответствующая значению γ_{max}^P , полученному из решения задачи о максимальном равновесном выходе ZnO в предположении о сто-процентной атомизации материала в лазерном факеле (т. е. без учета капельной фазы) и дальнейшей идеальной закалке равновесного состава смеси. Равновесный состав можно определить из решения системы уравнений, связывающих парциальные давления компонент через константы равновесия. Ограничимся следующими газофазными реакциями в смеси

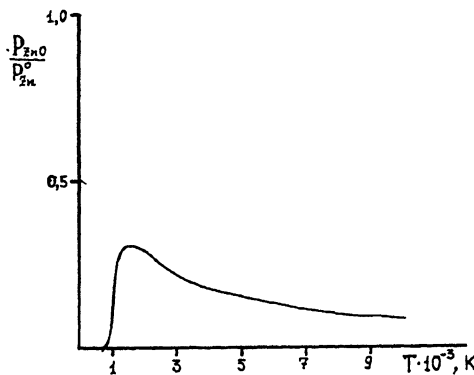
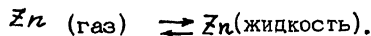
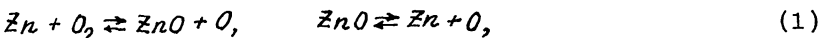


Рис. 2.



Учет диссоциации молекул кислорода дает небольшую поправку к полученному результату. С учетом сохранения числа атомов в смеси система уравнений выглядит так:

$$\left\{ \begin{array}{l} \frac{P_{ZnO} \cdot P_O}{P_{Zn} \cdot P_{O_2}^o} = K_1(T), \quad \frac{P_{Zn} \cdot P_O}{P_{ZnO}} = K_2(T), \quad P_{Zn}^o = K_3(T) \\ P_{O_2}^o = P_{O_2} + \frac{1}{2} P_{ZnO} + \frac{1}{2} P_O \\ P_{Zn}^o = P_{Zn} + P_{ZnO} \end{array} \right.$$

где P_i – парциальное давление i -го компонента при температуре T , $K(T)$ – константа равновесия соответствующей реакции, P^o – начальное парциальное давление реагента. При испарении в воздухе $P_{O_2}^o \approx 0.2$. Из эксперимента [5] следует, что давление в лазерном факеле в аналогичном режиме воздействия приближается к стандартному уже к концу импульса излучения, поэтому в качестве начального парциального давления цинка выбрано $P_{Zn}^o = 1$ для $T > T_{\text{кип}}$, а для $T < T_{\text{кип}}$ в качестве начального условия использовалось значение давления насыщенных паров цинка, согласно формуле Клапейрона. Зависимость $P_{ZnO}/P_{Zn}^o = \gamma P$ от температуры приведена на рис. 2.

Из рис. 1, б следует, что значение $\gamma > \gamma_{\max}^o$ не соответствует химическому равновесию в факеле. Можно, однако, предположить, что непрореагировавший цинк полностью окисляется в жидкой фазе, при этом надо принять, что капли составляют $\sim 70\%$ всего испаренного материала, что неправдоподобно для используемого режима

лазерного воздействия. Более реальной представляется следующая картина. Как показано в [6], при эмиссии электронов из плазмы в молекулярный газ, интенсивном коротковолновом излучении плазмы, при перемешивании плазмы и фоновой среды возможно неравновесное состояние молекулярной подсистемы смеси, когда $T_U > T$, что существенно меняет кинетику химических реакций типа (1). При колебательно-поступательной неравновесности константа скорости реакции много больше равновесной, т. е. $k(T_U, T) \gg k(T)$. Наработанный колебательным стимулированием сверхравновесный состав закаляется при быстром расширении факела, что приводит к дополнительному разрыву между T_U и T и увеличению выхода продукта реакции или сверхидеальной закалке.

Таким образом, на основе полученных экспериментальных данных можно сделать вывод об отсутствии химического равновесия в смеси испаренного лазерным импульсом вещества и окружающей активной среды. Неравновесные эффекты проявляются как в кинетике газофазных эндотермических реакций, так и в эффективной закалке их продуктов.

Список литературы

- [1] Акимов А.Г., Бонч-Бруевич А.М., Гагарин А.П., Дорофеев И.А., Дорофеев В.Г., Казанский Л.П., Либенсон М.Н., Широков В.Ф., Пудков С.Д. // Письма в ЖТФ. 1987. Т. 13. В. 18. С. 1093-1098.
- [2] Воробьев А.Я., Либенсон М.Н. // Письма в ЖТФ. 1990. Т. 16. В. 19. С. 79-83.
- [3] Deyeg P.E., Issaa A., Keu D.H. // Appl. Phys. Lett. 1990. V. 57. N 2. P. 186-188.
- [4] Русанов В.Д., Фридман А.А. Физика химически активной плазмы. М.: Наука, 1984. 415 с.
- [5] Гноевой Я.Н., Петрухин А.И., Плещанов Ю.Е. Суляев В.Н. // Письма в ЖЭТФ. 1970. Т. 11. № 9. С. 440-443.
- [6] Дорофеев И.А., Либенсон М.Н. // Химическая физика. 1992. Т. 11. № 4. С. 525-540.

Институт прикладной
физики РАН,
Нижний Новгород

Поступило в Редакцию
17 февраля 1992 г.